

大型構造解析における収束計算法^{1) 2) 3) 4)}

三重県立長崎研 島坂哲夫

1. はじめに

船舶、航空機等の大型構造解析を对象として、最近、
~~構造~~有限要素法¹⁾による構造解析用汎用プログラムが開発され、
(表-1に示す)とくに飛行機始めとする。²⁾

筆者も、20数年、有限要素法による構造解析³⁾を研究して、これをかく。これらを通じて経験したことは、或いは文献をもとにして知り得た事柄⁴⁾について、特に計算結果⁵⁾を述べる。
収束計算 Algorithm⁶⁾を重視を置いて、概説する。

一般的に云ふと、大型構造解析による収束計算の特徴といた。

1) 対象構造が複雑で、Analytical 解析せず、収束計算によらねばならぬこと。

2) 計算時に未知数も数百ないし数千と非常に多いこと。

3) 類似の構造、荷重条件ごとに計算頻度の高いこと。

iv) たりやから答を出す。精度はどうらかと云は
るのを考へる。

v) 計算度。費用はかかること立派。

vi) 計算耗に適した Algorithm である。

今が挙げられよう。今のところは、手作業を除き、もつ
ていて有限要素法がよい。これは、本法が、大型構
造解析の主要を占めるものと考えられる。

有限要素法は、原理的には簡単であるけれども、大型
構造解析を対象とするとき、取扱う連立方程式は数百ないし
数千元となる。よって、通常の数値解法では処理し得ず。
効率の良い解法を求めて、単に数学的考察の外ならず、構造
解析全体としての見方に立って、種々の工夫がなされてゐる。

以下、具体的に各種計算法について述べる前に、有限
要素法による構造解析の手順につき、簡単にふれておきたい。

- Ⓐ : 構造の idealization
- Ⓑ : Input Data の準備
- Ⓒ : Element Stiffness Cal.
- Ⓓ : 系全体の釣合方程式

$$KX = F \quad (1)$$

- Ⓔ : Boundary Condition の導入
- Ⓕ : 連立方程式 (1) を解くこと。
- Ⓖ : Element Stress の計算
- Ⓗ : Print Output Data
- Ⓘ : Output Data の図示

通常Ⓐ～⒒まで計算機がやってくれる。実際はⒶ, Ⓛ, Ⓝに殆
んど人手に時間を使われ、費用的に云っても計算費は1/3～1/2程度

度で五三。一例を表-2に示す。

2. 大型構造解析における各種収束計算法

2-1. Hyper Matrix 演算による法

1) 基本 Algorithm

- ① 式の係数行列 \mathbf{K} を右図

- ② 通常 In-Core 处理可能。

- ③ 行列 \mathbf{K}_{ij} の分割。 $i \leq j$

- ④ 取扱い。

$$\mathbf{K} = \begin{bmatrix} \mathbf{K}_{11} & \mathbf{K}_{12} & \cdots & \mathbf{K}_{1n} \\ \mathbf{K}_{21} & \ddots & & \vdots \\ \vdots & \ddots & \ddots & \vdots \\ \mathbf{K}_{n1} & \cdots & \cdots & \mathbf{K}_{nn} \end{bmatrix}$$

- ⑤ 2-3 正解法と 1-2 Gaussian Elimination と 3-4 が Algorithm

- ⑥ $\mathbf{K}_{ij} \neq 0$ は $i \leq j$ である。

2) 特徴

- ① joint numbering は制約がない。 $n \approx 2^m$ mesh の自動分割等容易となる。

- ② 解き得る問題の大きさは、殆ど制限がない。

- ③ load case が $\frac{1}{2} < z \leq 1$ 同時処理が出来る。

3) 不足

- ④ 計算時間が非常に長い。

4) その他

- ⑤ ASKA がこの方法を採っている。

2-2. SOR : Successive Over Relaxation Method ²⁾

1) 基本 Algorithm

- 支持值： X^o (法定)

- ### • 反復式：

$$x_i^{(k+1)} = -\left(\frac{\omega}{k_{ii}}\right) \left| \sum_{j=1}^{i-1} k_{ij} x_j^{(k+1)} + \sum_{j=i+1}^m k_{ij} x_j^{(k)} - f_i \right| - (\omega-1) x_i^{(k)} \dots \dots \dots \quad (2)$$

$i : 1 \sim n$

ω : 加速 (素数 ($1 \leq \omega \leq 2$))

2) 特徴

- joint numbering to be 12 17 2 3.

- OK 加 $\frac{1}{2}$ is to a 2-sparsity E + 分 12 生 at 3.

- ◆ solid のような 固い構造 へは、 しまく使えば 非常に早い。

三) 雜志

- ・構造によることは発散し、解が得られないことがあります。

(収束性の保証: $|k_{ii}| \geq \sum_{j=i}^m |k_{ij}|$ が満足されていふときは
ぎらなう。)

- W9 設定、収束。判定基準は12秒以上の経験区間方。

- load case の 算出と並び、同時に起算点が決まる。

3-2. C.G. 法³

- 卷之三

$$\|r^{(o)}\| = \|f - Kx^{(o)}\| \quad \left. \right\} \dots \dots \dots \quad (3)$$

- 反復式： $\alpha_k = (\|p^{(k)} \cdot r^{(k)}\|) / (\|K\| \|p^{(k)}\| \|r^{(k)}\|)$

$$\left. \begin{aligned} \mathbf{x}^{(k+1)} &= \mathbf{x}^{(k)} + \alpha_k \mathbf{p}^{(k)} \\ \mathbf{r}^{(k+1)} &= \mathbf{r}^{(k)} - \alpha_k \mathbf{K} \mathbf{p}^{(k)} \\ \beta_k &= (\mathbf{K} \mathbf{p}^{(k)}, \mathbf{r}^{(k+1)}) / (\mathbf{K} \mathbf{p}^{(k)}, \mathbf{p}^{(k)}) \\ \mathbf{p}^{(k+1)} &= \mathbf{r}^{(k+1)} - \beta_k \mathbf{p}^{(k)} \end{aligned} \right\} \quad (4)$$

2) 特徴

- joint numbering を自由に定められる。
- 係数行列 \mathbf{K} が零でない要素の非零要素 a_{ij} と (i, j, k_{ij})
- 形状記述子 k の大きさは $1 \leq k \leq n$ の形で表される。
- joint番号を制約せずに k を定めると解法が簡単になる。

3) 難点

- 釣り合構造。同一構造では収束しないことから学習しにくい。
- load case が多いため同時に複数の解を求める。

2-4. Band Method

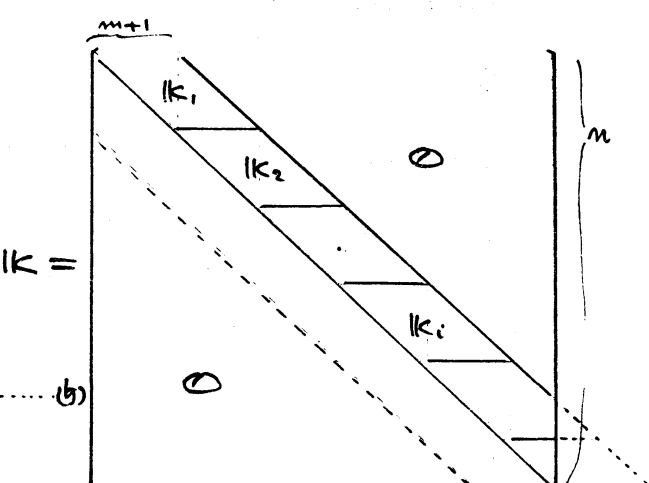
1) 基本アルゴリズム

- element joint $(i-j-k)$ が
numbering で k である。

$$\max(i-j, j-k, k-i) \leq m/2 \quad \text{... (b)}$$

(joint の自由度 2 の場合)

→ 制限を付す。



と同一構造では右図の \rightarrow が Band と呼ぶ。

- K is positive definite $\Leftrightarrow z^T K z \geq 0 \forall z \in \mathbb{R}^n$. $\Leftrightarrow K_1, K_2, \dots, K_n$ & diagonal entries $k_{ii} > 0$.

◦ triangulation :

$$\text{or. } l_{1,i} = k_{1,i} \quad (i=1 \sim n)$$

$$L_{ij} = k_{ij} - \sum_{\ell=1}^{n-1} L_{i\ell} L_{j\ell} / L_{ii} \quad (i \leq j \leq n, i=2 \sim m) \quad \cdots (6)$$

- forward reduction :

- backward reduction;

2) 特徴

○非常に早く、確實に解か得らる。

○精度も悪くない。

○ Load case が $\frac{N}{N_c} < 2$ も (2) の処理が出来ます。

3) R $\frac{t}{k}$

◦ joint numbering 12 余分の面意加え番2-3。

◦ mesh を細くすると、(5) の制約を満たす構造を出す。

2-5. Wave Front 法⁴⁾

1) 基本 Algorithm

- joint numbering & wave

front の minimum 12 3

株、付帯する。

- 侵入行列 LK を (6) で 分解

方 3。 2 の リスト L は

(要素が多いため)

右図の 株 12 3。

- triangularization 12 は L. Row element l_{ij} が以下 の element

に 対する寄与 i.e. 要素 i から j の要素を (6) 式 の 方 2 で

す。 In-core 12 - 次元 array と 1 2 stored 1 2 おき。 2 2 の

~~Row~~ 2 decomposition 12 準備 3。

- decomposition が 清か は通常の forward & backward reduction 12 3。

2) 特徴

- 非常に 12 早いと言え (band 法 $\frac{1}{2} \sim \frac{1}{4}$)

3) R 算

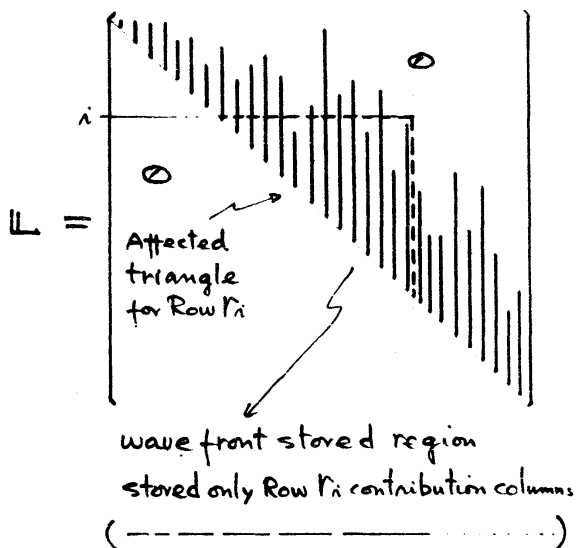
- joint numbering 12 余分の配慮がいる。

- 稠密マトリクス 加算難とみる。

- あまり 大きな構造は 解けない (32kW Machine で Bandwidth ≈ 200)

2-6. Unit 分割法⁵⁾ (Matrix tri-diagonal Form)

1) 基本 Algorithm



- joint ∈ Unit または group 分け

を行なう。従事する行に属する K の右側の

K の 12 matrix tri-diagonal form

と 2, 3 行の配慮を行う。

- 2 つある。通常の Gaussian

Elimination 12 行の解を得る。

$$K = \begin{bmatrix} K_{11} & K_{12} & & \\ K_{21} & K_{22} & K_{23} & \\ & K_{32} & K_{33} & K_{34} \\ & & \ddots & \ddots \\ & & & K_{nn} & K_{nn} \end{bmatrix}$$

2) 特徴

- 取扱い範囲が Band 法の制約より広くなる。

- 計算時間も割合で早い。

- 精度も悪くない。

- load case など複数ある場合、同時に処理可能。

3) 欠点

- input の準備時間がかかる。

- mesh を用いると、Unit の制約外となる解行は場合も生ずる。

2-7 Substructure 法^{(6), (7)}

1) 基本 Algorithm

- 解かんとする構造を部分構造 (Substructure) 単位で処理する。
すなはち、部分構造の内臭を消去し、外臭を 2-12 (6) の順序で処理する。

*1. 実際 12 Unit 分けと呼ばれて用いられる手法は、もう少し拡張されたもの。

- 部分構造正系全体上の乙集 \leftrightarrow 3。
 - 3と12, 12 \rightarrow 前述の tri-diagonal form 122 関係 \leftrightarrow 3。

2) 特徴

- 構造解析者になりうるやうに。
 - substructure を数段階の level 分けすれば、 $\pm \leq 12$ の範囲
 $\pm < 3\pi/2$ 。
 - (3) 構造部分がふるえとき、長の計算を流用出来る。

3) R 5

- σ が複数の要素で構成される場合、各要素の接合部で複数の節点が重なるため、接合部の節点を複数個持つことになり、要素間の接合部を複数個持つことになる。
 - mesh を細分割する。Substructure の自由度が大きくなる。計算コストも高くなる。

2-8. 最小固有值の解法^{8), 9)}

總括：產產專→解卦12必奪取

9. 最小固有值の解法 \rightarrow 11. 2 過へる。

1) 基本 Algorithm

- 主義區： $\times^{(0)}$ （後文）

- 反傳式： $\hat{Y}^{(k)} = B\hat{X}^{(k)}$

$$A \times^{(k+1)} = Y^{(k)}$$

$$X^{(k)} = (\cancel{X}^{(k+1)} \cdot X^{(k)}) / (\cancel{X}^{(k+1)} \cdot \cancel{X}^{(k+1)})$$

{ (10)}

$T = T_{\infty} (X^{(k+1)})$ は適当に normalize して用ひる。

2) 特徴

- 元数の大きさをもっても、容易に計算出来る。
- Band 法と組み合せれば、非常に早い。
- Algorithm を改良すれば、低次の固有値も求め得る。

3) 難点

- 近接固有値のとき収束が悪くなる。
- したがって、計算時間の予測がつけ難い。

3. 計算例

以上、種々の計算法について述べたが、1~2具体例を示すことにする。

3-1. ヒストン・ラムニの熱応力解析⁽¹⁰⁾

図-1 参照のこと。

3-2. 内燃機関架構、台板の強度解析⁽¹¹⁾

図-2 参照のこと。

3-3. $\delta = \sigma - \text{Trans Ring } \sigma$ 強度解析⁽²⁾

(国-3n-9 参照の 2 と。

4. あとがき

筆者も含め、大型構造解析の問題点は多いが、今後
の方向を述べておこう。

大型構造物の強度解析は今後、强度解析法、往來の実
験に代るものと云ふ。今後未だ未開拓の分野を多くと思
われる。

一方専用計算機の記憶容量は、2Kb 12十分見合ひで、
増加とは考えられない。したがって、今後とも、数値計算
Algorithm、各種 $\tau = s = \pi$ の開発が必要となることは確実。
かくして、膨大な Input & Output Data の処理を如何に効率的に行う
か、現行の最大の問題点の一つである。2 例を以下に示す。
電子的な Algorithm の 2 つ目、具体的な Physical Meaning を
考へる、場合分けには、専用の Hardware を開発し、問題
を適切な位置をとらむべく、解決は困難の本質である。

また、2Kb とは別に、計算機の専用行数に問題あり。
計算精度が明確に上り下りする。⁽³⁾

よって他、(1) $\sigma = \sigma_0 - \sigma_1$ と σ_1 と σ_0 の関係。

い) Hyper Matrix Form 12 と 3 種類 Matrix Operation Module

ii) Non-zero element Matrix Form は 3 行 3 列 Matrix
Operation Module

手で 1. 2. 3. 4. — と 2 整理してある。右用意する。
2. 3. 4. 3.

種々の資料を提供している。当社、三原、国分、諸
國、和田、倉本の各氏の成績を示す。

[参考文献]

- 1). 長崎「日本における大型構造解析法」昭和 34 年 12 月
日本造船学会誌 第 48 号 p596 昭和 44-12
- 2) 川島、塙尾「反復法による構造的合方程式の解法」大日本
元行刊。計算機開発研究会報文集 p34 '60-4-24, 25 東大
- 3) 伊川「多元連立一次方程式の解法」JSSC vol. 4. No. 35 '68
- 4) Melosh, et. al. "Efficient Solution of Load Deflection Equations"
Proc. ASCE, ST4 p661~676 April '69
- 5) 信原「FRAN 構造」JSSC vol. 3 no. 19 '67
- 6) Smith, et. al "Practical Considerations in the Applications
of Finite Element Technique to Ship Structures" ISD,
ISSC Symposium on FEM. June '69 Stuttgart Univ.
- 7) Taig, I.C. "Automated Stress Analysis Using Substructures"
1st Conf. Matrix Methods in Structural Mechanics, Wright-Patterson

AFB, '66, AFFDL-TR-66-80

- 8) 田川和行「大型行列の最小固有値の一計算法」航技研 TM-132
昭43-5
- 9) 大坂「大型行列の最小固有値問題の一数値解法」大坂元
「計算技術研究会報文集 p99, '60-4-24.25 東大
- 10) 三原, 口令, 藤田, 幸田「高速で一セル時間比2以下
熱光弹性における熱応力解法」三葉重工技報 vol.7, no.2 昭45
- 11) 高橋, 河野, 小野, 寺田, 鳥口「機械架構台板の構造
解析的研究」三葉重工技報 vol.7, no.1 昭45
- 12) 高橋, 寺田, 今本, 永元「有限要素法による船体遮尼強度
解析的研究」船舶学会報第40号 p115 昭45-7
- 13) Melosh, R.J. & E.L. Palacz "Manipulation Errors in Finite
Element Analysis of Structures" NASA CR-1385 Aug. '69

名 称	(主)実行機 主な機器	計算機	基礎理論	弹性	塑性	座屈	振動	I/O	Geom.	連立方程式	最大自由度	備考
SAMIS	* 1965 NASA Melosh	IBM 7094	有限法	0	0	0	0	TC	Wave Front SOR	10,000		
FORMAT	* 1968 USAF Douglas	IBM 7094 (GE 635)	有限法	0	0	0	0	Display	Gauss Se	2,000		
STRUDE	* 1969 IBM MIT	IBM 360/65	有限法	0	0	0	0	TC	Gauss	Unlimited	計算時間長	
MAGIC	* 1969 NASA Bell Aerosys	IBM 7094	有限法	0	0	0	0	TC	Cholesky Se	2,000 Unit		
NCRE	1968~ NCRC Kendrick	?	有限法	0	-	-	?	TC	Gauss (Substitution)	Tankers 3 Tankers	計算時間長未公表	
DAISY	* 1969 Arizona Proj. Camel	CDC 6600 (6400)	有限法	0	0	-	-	TC	Gauss	6,500		
ASKA	1970 Stuttgart Argys	CDC 6600 (U1108) CRIMSON	有限法	0	0	0	0	Topological C.G. Variable SOR	Gauss	Unlimited	計算時間長	
SESAME	1970 Norsk Venta Univ. 1108	有限法	0	0	0	0	TC	Cholesky Board	5000(?)	70's 34年		

作業区分	所要時間	所要消費比
Ⓐ 構造の idealization	20 hr	15 %
Ⓑ Input Data の準備	50 hr	37 %
Ⓒ Input Read, Check & El. Stiffness	20 min ^{*1}	6 %
Ⓓ 系全体の釣合方程式	15 min	5 %
Ⓔ Boundary Condition の導入		
Ⓕ 連立方程式の解法	25 MIN	8 %
Ⓖ Element Stress	5 MIN	2 %
Ⓗ Output Data	15 MIN	5 %
Ⓘ Output Data の表示	30 hr	22 %

*1. IBM 7040 Exec. Time

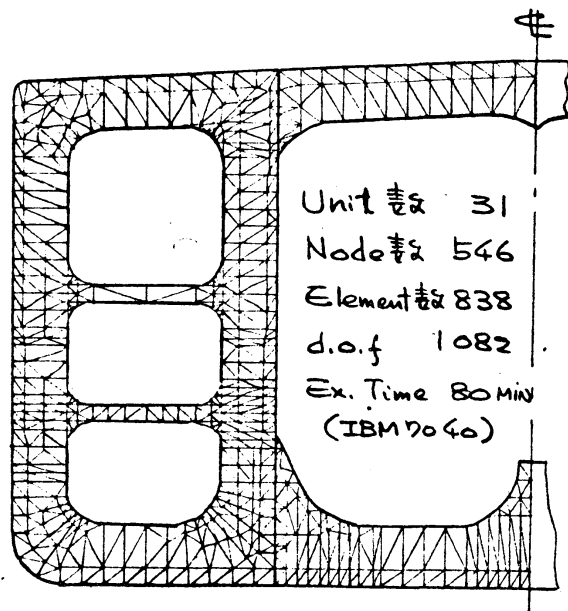


表-2 大型構造解析。所要消費比

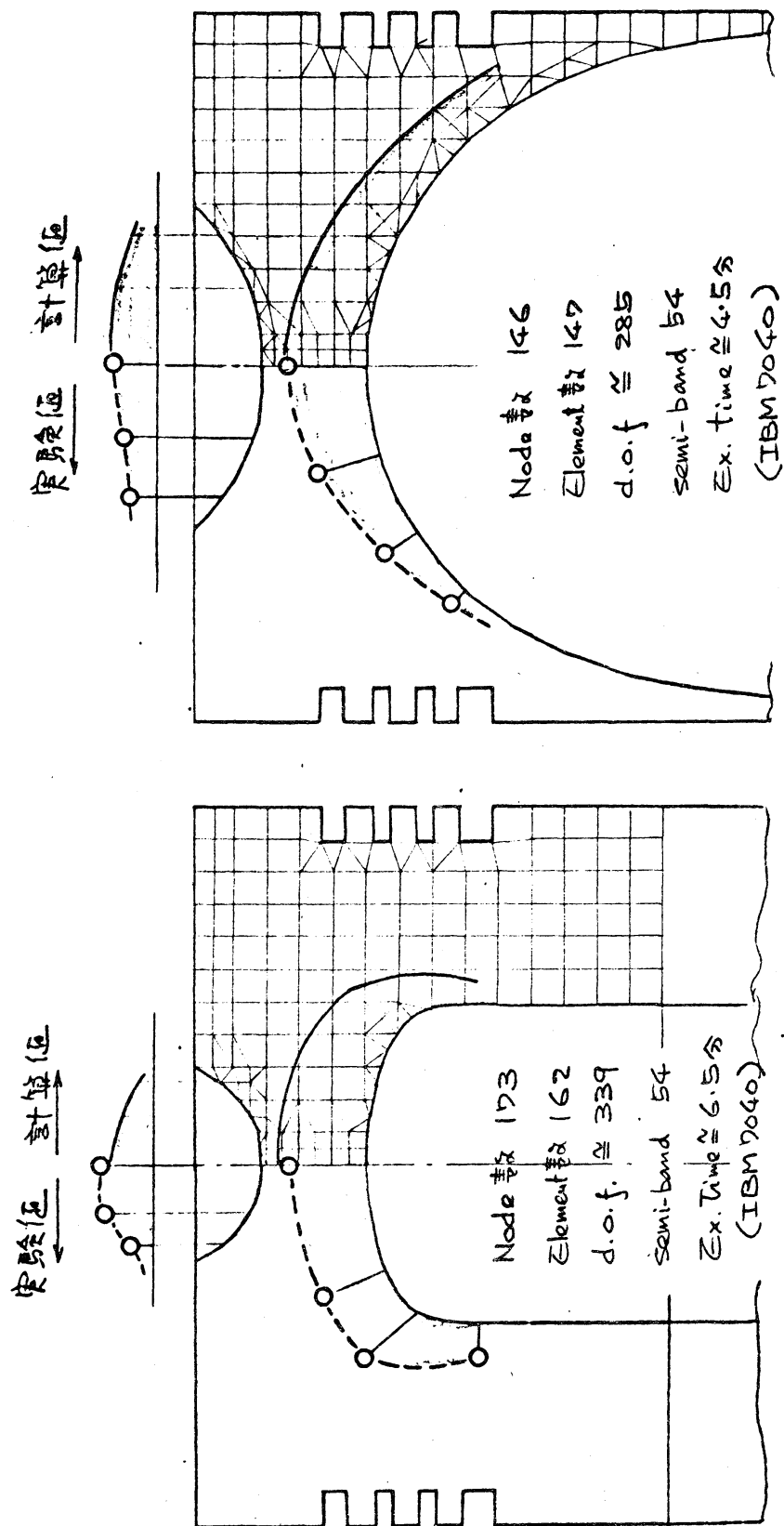
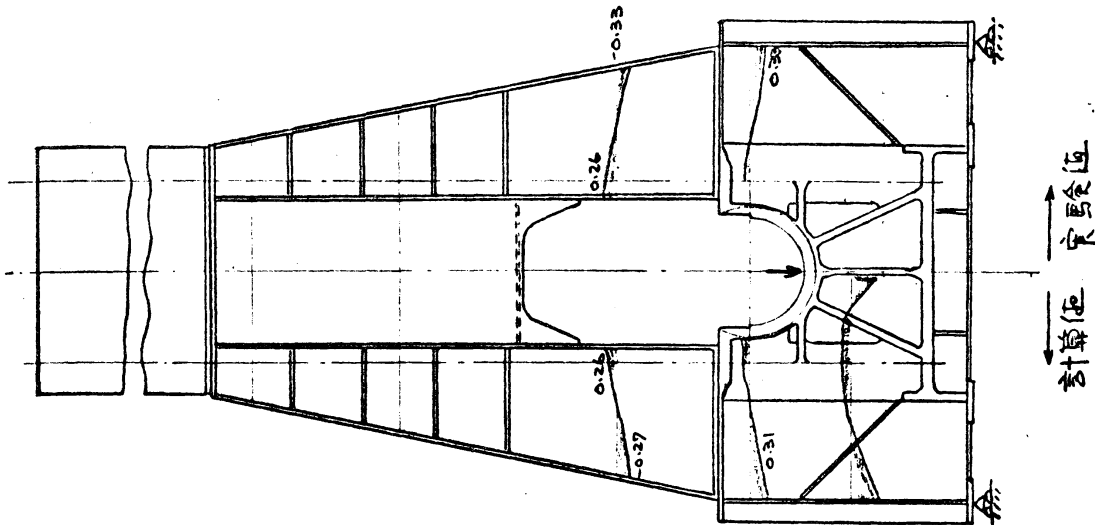


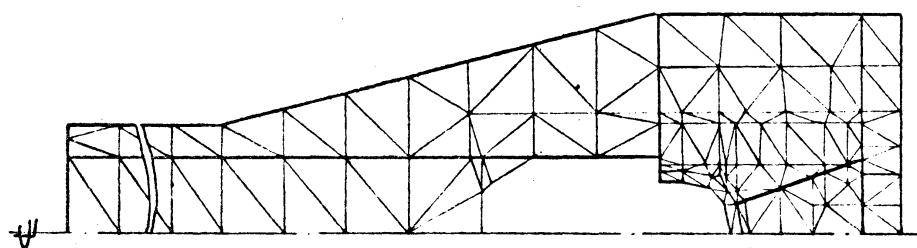
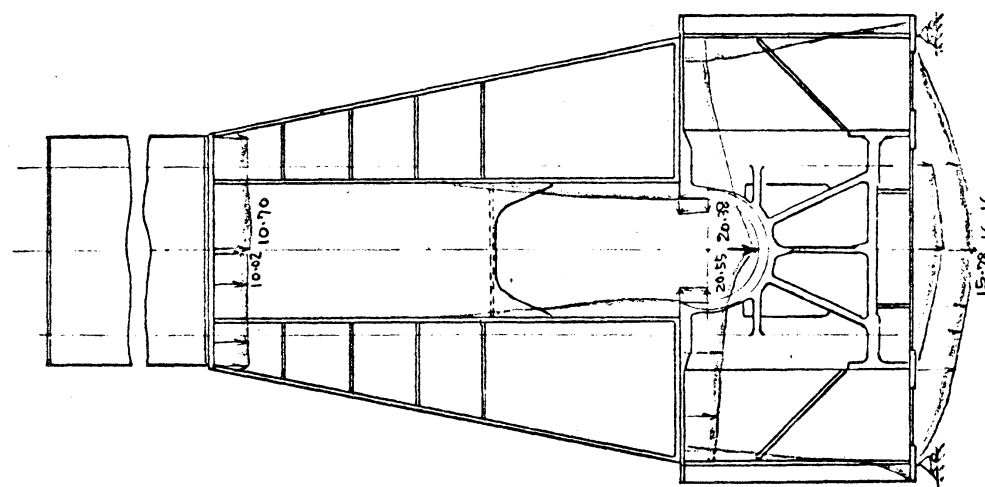
図-1 同種半帶構造の一例 (IBM 7040)

17

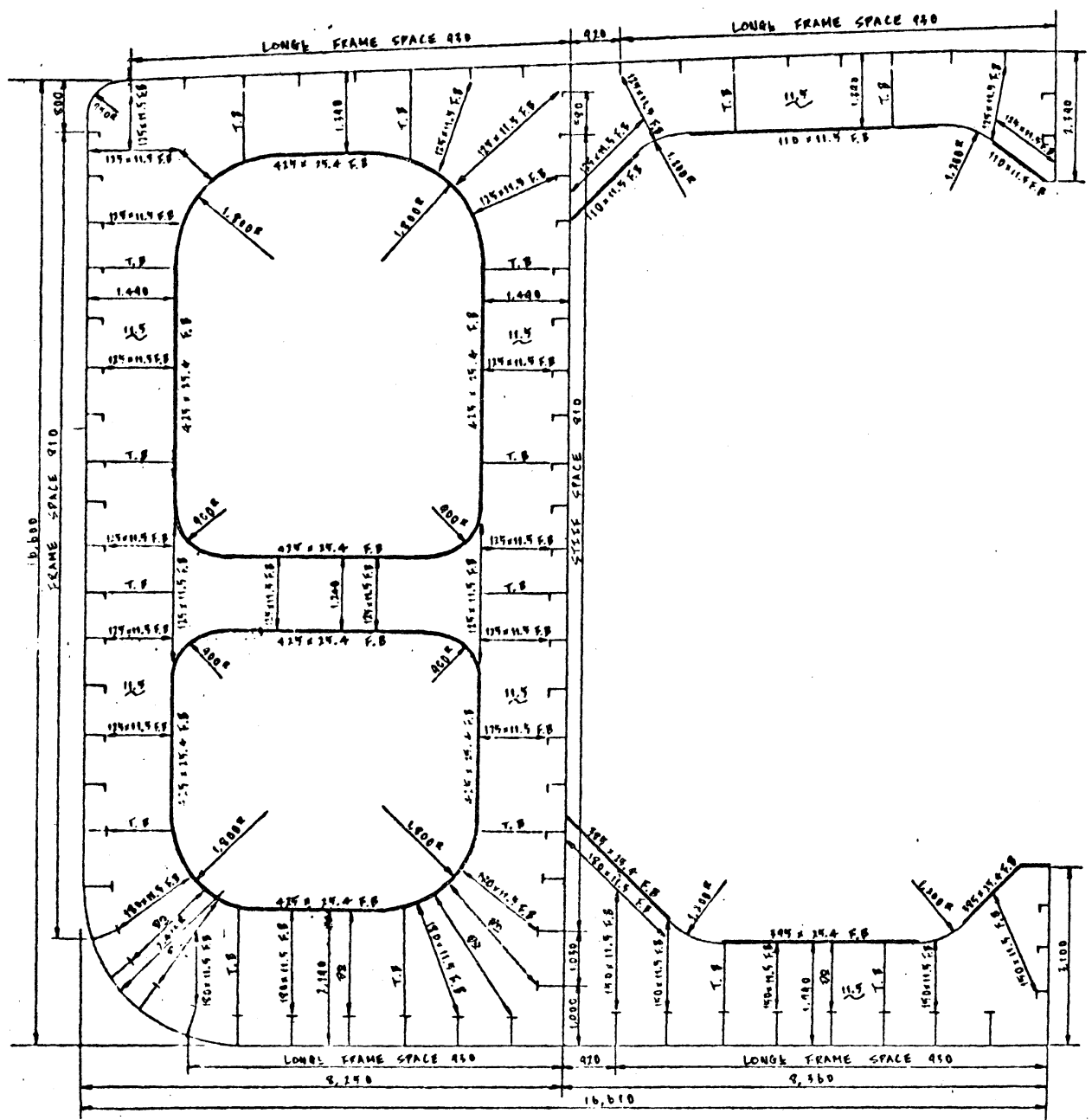


(3)-2 (内) 構造(主) 空構造 枕木 (3')

計算値 実験値
→ ←



$\text{Unit} \approx 40$
 $\text{Node} \approx 107$
 $\text{Element} \approx 164$
 $\text{d.o.f.} \approx 700$
 $\text{Ex. Time} \approx 50 \text{ min.}$
 (IBM 7040)

3
M-14
Cavell Midship Section

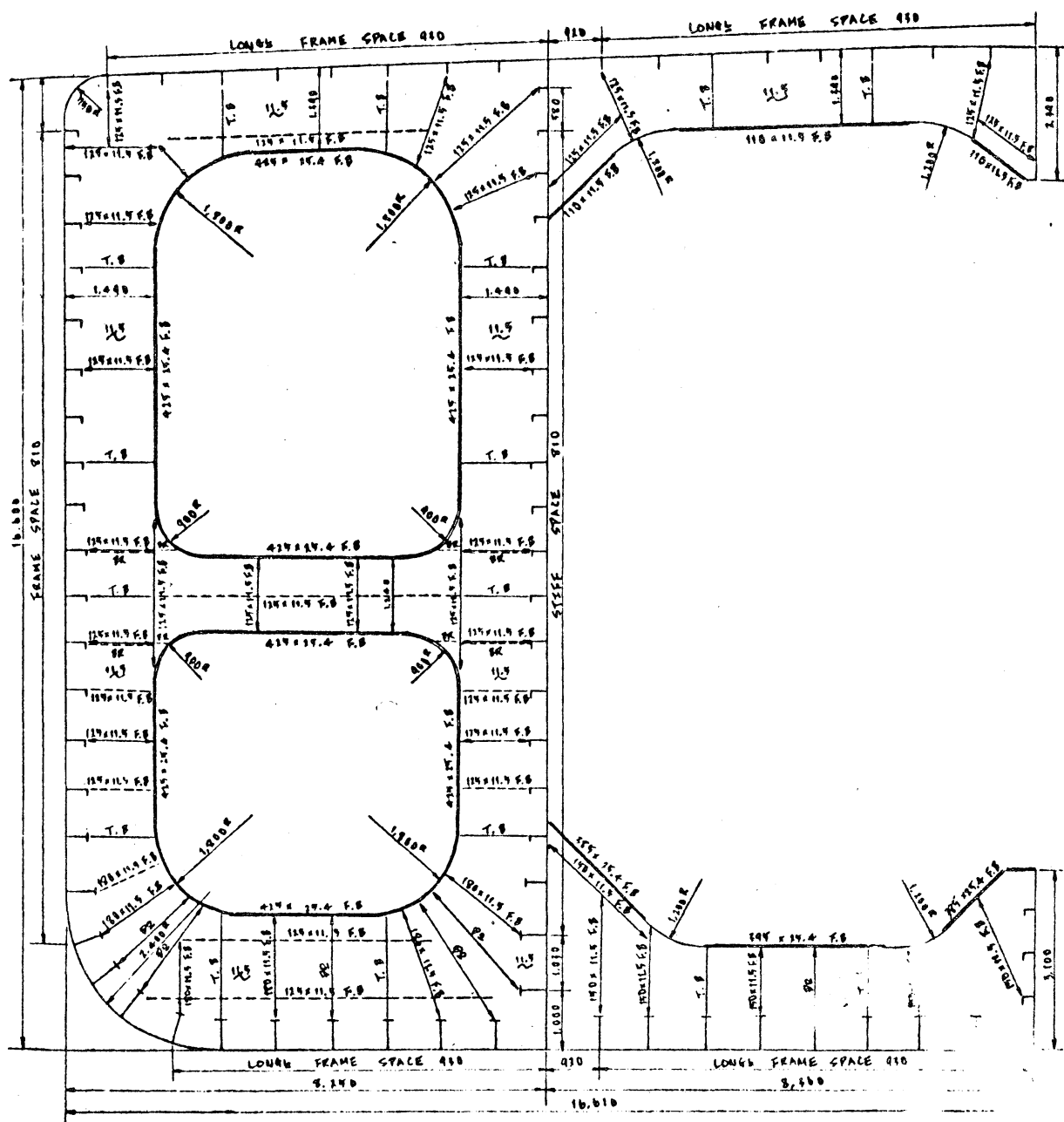


图-4 Case.2 Midchop Section

—外力条件—

水压: 1.34 kN ... 大骨桥规则 NK-Rule 1961.11.1

剪断力分配割合

船侧外板: 45%

舭連隔壁: 42%

船底中心带: 13%

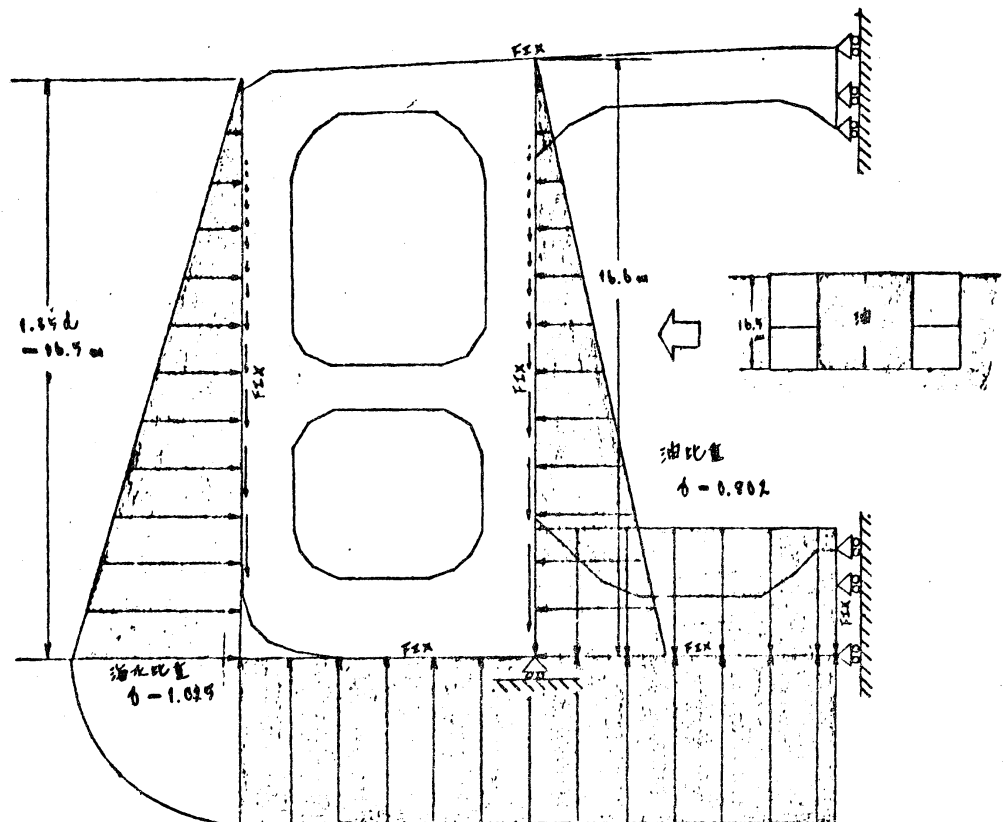
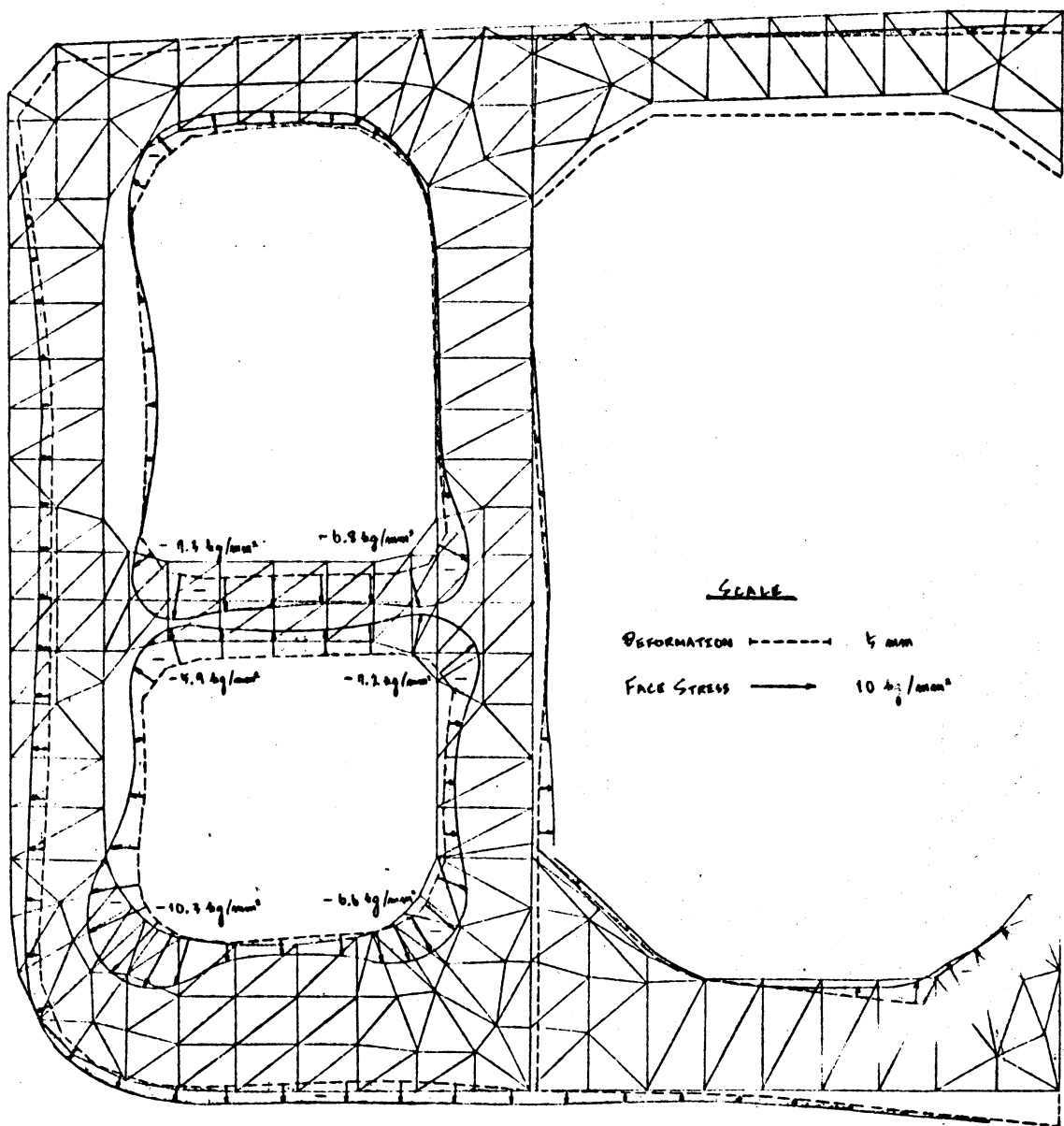


图-7-5 Load Condition



H. 84 Case 1 & Case 2 Deformation and Face Stress

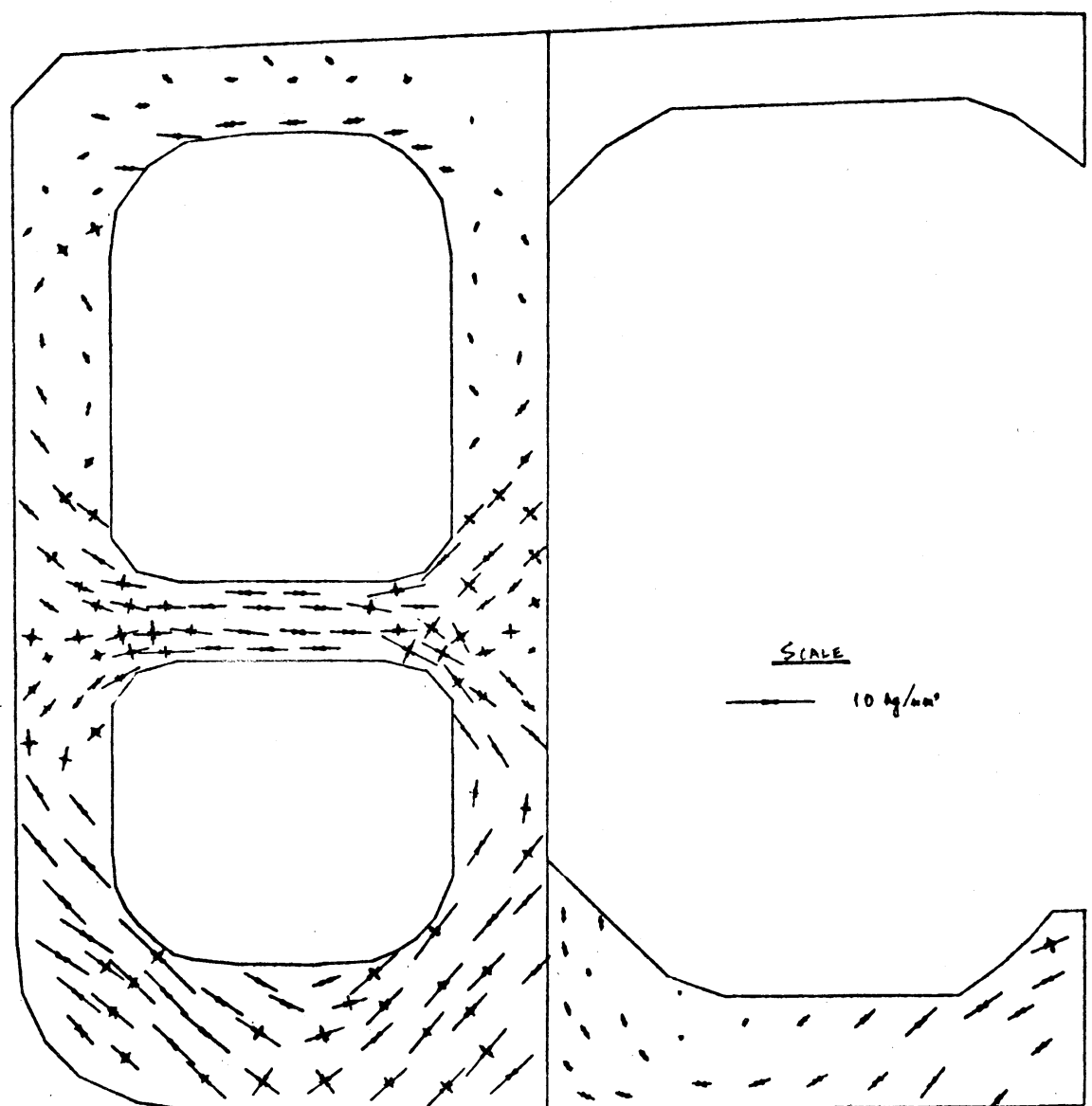
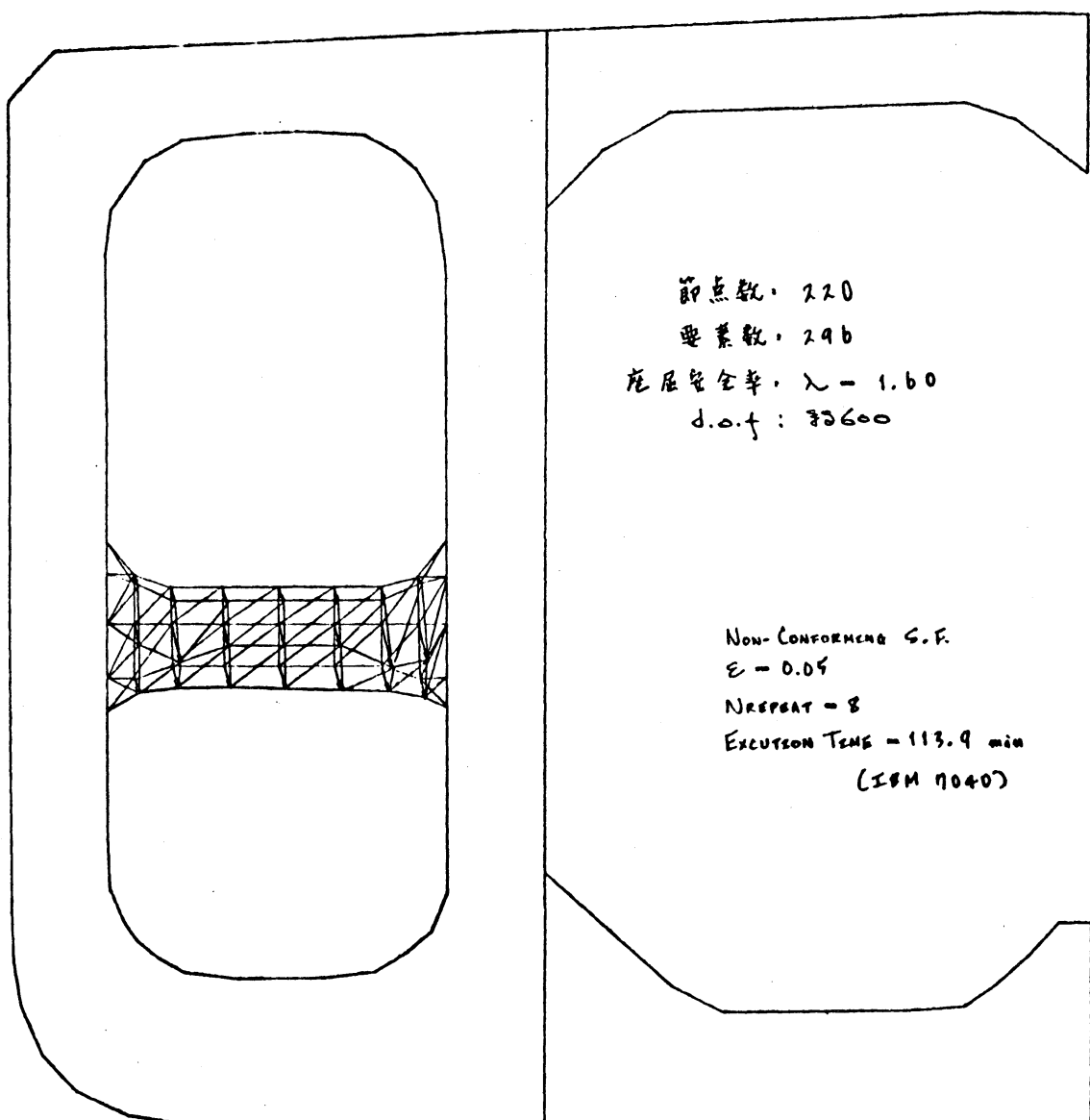


Fig. 17 Case 1 & Case 2 Principal Stress on Wet Plate



11-70 Case.1 Buckling Mode

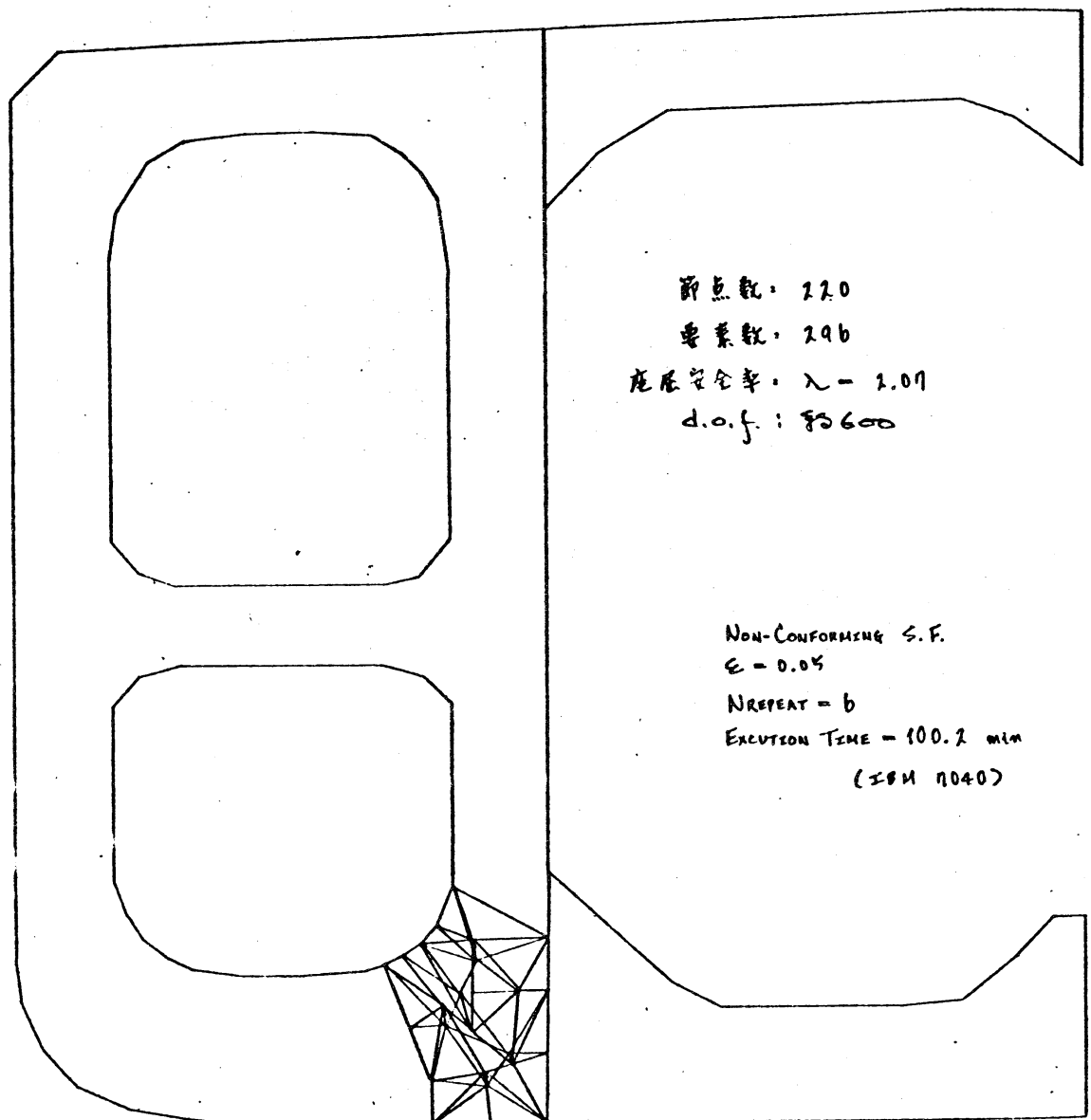


图-9 Case.2 Buckling Mode